

О ДВУМЕРНЫХ ВОЛНОВЫХ ПРОЦЕССАХ В ДИСПЕРСИОННОЙ СРЕДЕ

Ю. А. Березин, В. А. Вшивков, В. Д. Крыгин
(*Новосибирск*)

Одномерные задачи о распространении и эволюции волн в дисперсионных средах изучены достаточно подробно [1—3]. Значительно меньше внимания уделено подобным задачам в двумерной постановке [4, 5], что связано с существенно большими трудностями при их изучении. В [4] аналитически изучена устойчивость двумерных солитонов при наличии модуляции амплитуды. В [5] аналитически решена стационарная двумерная задача об обтекании тонкого тела в дисперсионной среде при условии малости дисперсионных и нелинейных эффектов.

Для рассмотрения двумерных волновых процессов в дисперсионной среде без предположения о малости нелинейных и дисперсионных эффектов нами выбрана простейшая модель — обтекание проводящего бесконечно протяженного цилиндра сверхзвуковым потоком бесстолкновительной неизотермической плазмы. Известно, что в такой плазме могут распространяться ионно-звуковые волны, скорость которых зависит от длины волны (иными словами, плазма с $T_e \gg T_i$ является дисперсионной средой для ионно-звуковых волн).

Ионно-звуковые волны в неизотермической плазме без магнитного поля при амплитудах, меньших критических [1], могут быть описаны следующими уравнениями гидродинамического типа:

$$(1) \quad \begin{aligned} \frac{\partial n_i}{\partial t} + \operatorname{div}(n_i \mathbf{u}) &= 0, \\ \frac{\partial \mathbf{u}}{\partial t} + (\mathbf{u} \nabla) \mathbf{u} &= -\frac{e}{m_i} \nabla \Phi - \frac{1}{n_i m_i} \nabla p_i + \frac{\nu}{n_i m_i} \Delta \mathbf{u}, \\ \Delta \varphi &= 4\pi e (n_e - n_i), \quad p_i = n_i T_i, \quad n_e = n_0 \exp(e\varphi/T_e), \end{aligned}$$

где \mathbf{u}_i , m_i , n_i , T_i — скорость, масса, плотность и температура ионов; n_e , T_e — плотность и температура электронов; φ — электрический потенциал; $T_e \gg T_i$; ν — коэффициент вязкости. При отсутствии вязкости дисперсионные осцилляции с течением времени будут заполнять все более и более расширяющуюся область перед телом. Введение вязкости позволяет сделать эту область ограниченной. Будем решать задачу в полярных координатах (r, θ) в области $R_0 \leq r \leq R_1$, $\theta_0 \leq \theta \leq \pi$. В качестве начальных данных во всей области, кроме поверхности цилиндра, задаем параметры однородного набегающего потока

$$(2) \quad n_i(\mathbf{r}, 0) = n_0, \quad \mathbf{u}(\mathbf{r}, 0) = \mathbf{u}_0 = \operatorname{const}, \quad \varphi(\mathbf{r}, 0) = 0,$$

где n_0 , \mathbf{u}_0 — значения плотности и скорости потока плазмы на бесконечности, который предполагается сверхзвуковым, т. е. $u_0 > c_s = (T_e/m_i)^{1/2}$. На поверхности цилиндра зададим условие

$$(3) \quad \varphi(R_0, t) = \varphi_0 = \operatorname{const}.$$

Внешнюю границу области $r = R_1$ расположим достаточно далеко от тела, поэтому

$$(4) \quad \varphi(R_1, t) = 0.$$

Границные условия для гидродинамических функций ставятся следующим образом:

$$(5) \quad \mathbf{u}(R_0, t) = 0, \quad \mathbf{u}(R_1, t) = \mathbf{u}_0, \quad n_i(R_1, t) = n_0.$$

Значения потенциала на теле φ_0 , а также электронной и ионной температур T_e, T_i будем считать некоторыми константами. Заметим, что в эксперименте потенциал на теле может варьироваться, а постоянство температур в задачах о ионно-звуковых колебаниях является обычным предположением. Таким образом, уравнения (1) с условиями (2), (3)–(5) математически формулируют рассматриваемую задачу.

В этой задаче есть три пространственных масштаба: размер тела, электронный дебаевский радиус $r_{De} = (T_e/4\pi n_0 e^2)^{1/2}$ (характеризующий масштаб дисперсионных осцилляций), ионный дебаевский радиус $r_{Di} = (T_i/4\pi n_0 e^2)^{1/2}$ (характеризующий влияние заряда тела). За основной пространственный масштаб удобно выбрать радиус обтекаемого цилиндра R_0 . В качестве характерных значений скорости, плотности и потенциала выберем скорость ионного звука $c_s = (T_e/m_i)^{1/2}$, n_0 и T_e/e соответственно. Тогда система уравнений (1) в безразмерных переменных и в полярных координатах (r, θ) может быть записана в виде

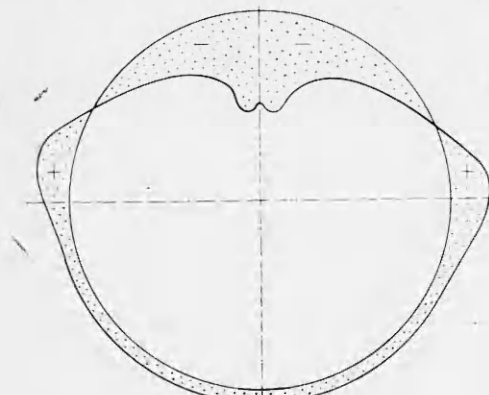
$$(6) \quad \begin{aligned} \frac{\partial n}{\partial t} + u \frac{\partial n}{\partial r} + \frac{v}{r} \frac{\partial n}{\partial \theta} + n \left(\frac{\partial u}{\partial r} + \frac{1}{r} \frac{\partial v}{\partial \theta} \right) + \frac{nu}{r} = 0, \\ \frac{\partial u}{\partial t} + u \frac{\partial u}{\partial r} + \frac{v}{r} \frac{\partial u}{\partial \theta} - \frac{v^2}{r} + \frac{\partial \varphi}{\partial r} + \frac{T}{n} \frac{\partial n}{\partial r} = \frac{v}{n} \left(\frac{\partial^2 u}{\partial r^2} + \frac{1}{r} \frac{\partial u}{\partial r} - \right. \\ \left. - \frac{u}{r^2} + \frac{1}{r^2} \frac{\partial^2 u}{\partial \theta^2} - \frac{2}{r^2} \frac{\partial v}{\partial \theta} \right), \\ \frac{\partial v}{\partial t} + u \frac{\partial v}{\partial r} + \frac{v}{r} \frac{\partial v}{\partial \theta} + \frac{uv}{r} + \frac{1}{r} \frac{\partial \varphi}{\partial \theta} + \frac{T}{nr} \frac{\partial n}{\partial \theta} = \frac{v}{n} \left(\frac{\partial^2 v}{\partial r^2} + \frac{1}{r} \frac{\partial v}{\partial r} - \right. \\ \left. - \frac{v}{r^2} + \frac{1}{r^2} \frac{\partial^2 v}{\partial \theta^2} + \frac{2}{r^2} \frac{\partial u}{\partial \theta} \right), \\ \beta \left[\frac{1}{r} \frac{\partial}{\partial r} \left(r \frac{\partial n}{\partial r} \right) + \frac{1}{r^2} \frac{\partial^2 \varphi}{\partial \theta^2} \right] = \exp(\varphi) - n, \end{aligned}$$

где u — радиальная компонента скорости; v — азимутальная компонента скорости; $\beta = (r_{De}/R_0)^2$; $T = T_i/T_e$. Система уравнений (6) решалась численно методом дробных шагов. Все члены переноса аппроксимировались с учетом направления скорости; разностная схема была монотонной и условно устойчивой. Свойство монотонности в данном случае является очень важным, так как если это не выполняется, то «численная» дисперсия может исказить дисперсию физическую. Уравнение Пуассона для потенциала решалось методом квазилинейизации с последующими итерациями по алгоритму верхней релаксации.

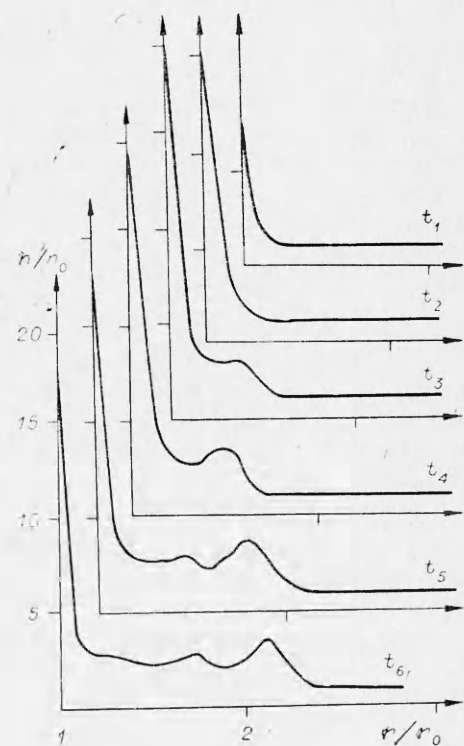
Рассмотрим результаты расчетов в полной области $R_0 \leq r \leq 3R_0$, $0 \leq \theta \leq \pi (\theta_0 = 0)$ при отсутствии вязкости ($\nu = 0$). Скорость набегающего потока выбрана равной $u_0 = 1,2$, дисперсионный параметр $\beta = 0,09$, отношение температур ионов и электронов $T = 0,1$, потенциал заряженного тела равен $\varphi_0 = 0,5$. Выбор полной области $0 \leq \theta \leq \pi$ позволяет исследовать не только структуру ударной волны перед телом, но и разреженный след за телом. Согласно расчетам, перед телом образуется область уплотнения с максимальной плотностью $n_{\max} \approx 18,5 n_0$.

за телом — сильно разреженный след с $n_{\min} = 10^{-4} n_0$. На фиг. 1 изображена угловая зависимость возмущения плотности ионов $\delta n_i = (n_i - n_0)/n_0$ на расстоянии $r = 2R_0$ от оси цилиндра в момент времени $t = R_0/c_s$ (окружность соответствует невозмущенной плотности, вне окружности отложены в зависимости от угла θ значения $\delta n_i > 0$, внутри окружности $\delta n_i < 0$). Ударная волна сносится налетающим на тело потоком плазмы. Некоторое увеличение плотности при $\theta \approx 2$ соответствует конусу Маха. За телом образуется разреженный след с фокусировкой ионов около оси симметрии $\theta = 0$. Качественно аналогичные результаты получаются и в расчетах по кинетической теории [6]. На фиг. 2 изображены изолинии плотности ионов $n_i(r, t)$; хорошо видно, что перед цилиндром имеется ударная волна с осцилляторной структурой.

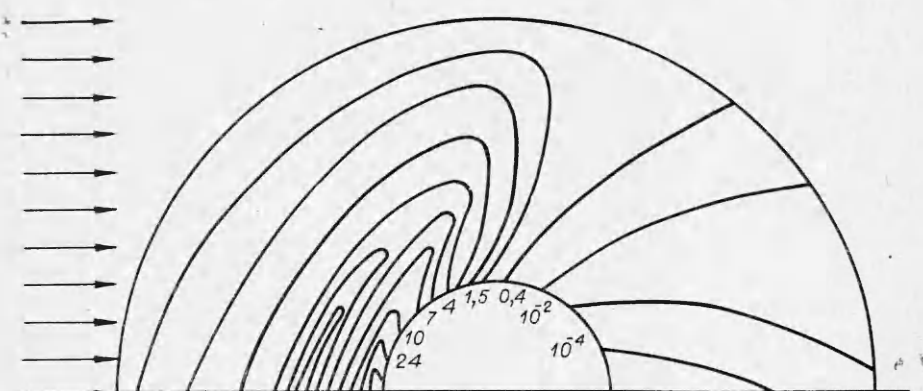
Рассмотрим теперь формирование ударной волны на основе расчетов, выполненных в «урезанной» области $R_0 \leq r \leq 3R_0$, $1 \leq \theta \leq \pi$ ($\theta_0 = 1$) при наличии небольшой вязкости $\nu = 10^{-2}$ и при следующих параметрах: $\beta = 0,01$, $\varphi_0 = 0,5$, T_e/e , $T_i/T_e = 0,1$, $u_0 = 1,2 c_s$. На фиг. 3 пред-



Фиг. 1



Фиг. 3



Фиг. 2

ставлен профиль плотности ионов на линии торможения $\theta = \pi$ в последовательные моменты времени. Сначала происходит рост плотности ионов у поверхности цилиндра до величины $\approx 20 n_0$ (моменты времени $t_1 = 0,1 \times R_0/c_s$, $t_2 = 0,3 R_0/c_s$). Затем, по мере того как у поверхности тела накапливается достаточная плотность, в игру вступает ионное давление, которое «отталкивает» ионы от поверхности (момент времени $t_3 = 0,4 R_0/c_s$), и от цилиндра начинает отходить вверх по потоку волна сжатия. Поскольку среда дисперсионная, эти возмущения постепенно приобретают осцилляторную структуру (моменты времени $t_4 = 0,6 R_0/c_s$, $t_5 = 0,9 R_0/c_s$ и $t_6 = 1,15 R_0/c_s$). При уменьшении дисперсионного параметра β формируется больше осцилляций, пространственный масштаб которых убывает пропорционально $\beta^{1/2}$.

При уменьшении потенциала цилиндра φ_0 наблюдался рост плотности ионов у поверхности тела, что происходит вследствие ослабления силы со стороны электрического поля.

При уменьшении неизотермичности плазмы T_i/T_e от 0,1 до 0,01 плотность ионов у поверхности цилиндра возрастает от $32 n_0$ до $224 n_0$ при $\beta = 10^{-3}$, $\varphi_0 = 0,5 T_e/e$, $v = 10^{-2}$ в момент $t = R_0/c_s$. Это связано с тем, что «упругость» среды по отношению к сжатию определяется отношением температур T_i/T_e и при уменьшении этого отношения «упругость» ослабляется. Чтобы вступило в игру ионное давление, требуется большое уплотнение у поверхности тела. Если увеличивать скорость набегающего потока u_0 , то также происходит рост плотности у поверхности цилиндра.

Поступила 30 I 1980

ЛИТЕРАТУРА

- Сагдеев Р. З. Коллективные процессы и ударные волны в разреженной плазме.— В кн.: Вопросы теории плазмы. Вып. 4. М., Атомиздат, 1964.
- Карпман В. И. Нелинейные волны в диспергирующих средах. М., Наука, 1973.
- Березин Ю. А. Численное исследование нелинейных волн в разреженной плазме. Новосибирск, Наука, 1977.
- Кадомцев Б. Б., Петвиашвили В. И. Об устойчивости уединенных волн в слабо диспергирующих средах.— ДАН СССР, 1970, т. 192, № 4.
- Карпман В. И. О структуре течения при двумерном обтекании тонкого тела в диспергирующей среде.— ЖЭТФ, 1967, т. 52, вып. 6.
- Альперт Я. Л. Волны и искусственные тела в приземной плазме. М., Наука, 1974.

УДК 536.255.001.5 : 622.36

ТЕПЛООТДАЧА ОТ СТЕНКИ КАНАЛА С ПОРИСТЫМ СЛОЕМ ПРИ ФИЛЬТРАЦИИ В НЕМ ЖИДКОСТИ

И. Г. Ким, В. А. Мухин, Н. Н. Смирнова

(Новосибирск)

При анализе температурного режима в протяженных подземных коллекторах существенную роль играет теплоизоляция из окружающего массива. В этом случае модель теплообмена при фильтрации становится двумерной. Постановка задачи значительно упрощается, если считать область фильтрации одномерной, но при этом на границе с непроницаемым массивом должно выполняться граничное условие третьего рода. Во всех работах этого плана в горной теплофизике [1—3] появляется вопрос об определении коэффициента теплоотдачи на границе массив — пористый пласт. Поскольку процессы в средах при фильтрации